

ЛИТЕРАТУРА

1. Чарный И. А. Методы расчета перемещения границы раздела нефти и воды в пластах. Изв. АН СССР. ОТН, 1954, № 4.
2. Чарный И. А. Движение границы раздела двух жидкостей в пористой среде. Изв. АН СССР. ОТН, Энергетика и автоматика, 1959, № 3.
3. Алихашкин Я. И. Численное интегрирование уравнения автомодельного движения границы раздела двух жидкостей в пористой среде. Изв. АН СССР. ОТН, Механика и машиностроение, 1961, № 5.
4. Зигангареев М. А., Теплов Ю. А. Расчеты перемещения водонефтяного контакта в наклонном пласте и сравнение их с данными моделирования. Тр. Все-союзн. нефтегазового н.-и. ин-та, 1966, вып. 47.
5. Зигангареев М. А., Теплов Ю. А. Расчеты на ЭЦВМ осесимметричного перемещения водо-нефтяного контакта. Казан. физ. техн. ин-т. Тезисы докл. юбилейной научн. конф., посвященной 20-летию ин-та Секции механ.-матем. н., Казань, 1966.
6. Теплов Ю. А. О совместном притоке нефти и подошвенной воды к скважине в неоднородном пласте. Изв. АН СССР. ОТН, Механика и машиностроение, 1961, № 2.
7. Саульев В. К. Интегрирование уравнений параболического типа методом сеток. Физматгиз, 1960.

**к одномерной задаче вытеснения нефти водой
в трещиновато-пористой среде**

Э. В. СКВОРЦОВ

(Казань)

Рассматривается одномерное вытеснение нефти водой в трещиновато-пористой среде. Предлагается специальная зависимость насыщенности от времени, хорошо аппроксимирующая опытную кривую. Для ряда законов изменения дебита найдено положение фронта нагнетаемой воды с течением времени.

1. В работах [1, 2] теоретически и экспериментально изучаются основные процессы, происходящие в трещиновато-пористых средах при вытеснении нефти водой (жидкости считаются несмешивающимися). На основании работ Г. И. Баренблатта, Ю. П. Желтова и В. М. Рыжика [3, 4] выведены уравнения движения нефти и воды в трещинах и пористых блоках, которые в случае одномерного вытеснения после упрощений можно записать в форме

$$q(t)f'(\rho_1) \partial \rho_1 / \partial x + hb\varphi[t - \vartheta(x)] = 0 \quad (1.1)$$

где

$$f(\rho_1) = \frac{f_1(\rho_1)}{f_1(\rho_1) + \mu_0 f_2(\rho_1)}, \quad \mu_0 = \frac{\mu_1}{\mu_2}, \quad q(t) = hb \int_{x(\vartheta)}^x \varphi[t - \vartheta(x)] dx \quad (1.2)$$

Здесь h — мощность пласта; b — его ширина; $q(t)$ — объем воды, поступающей в пласт за единицу времени (дебит воды); μ_1 и μ_2 — вязкости воды и нефти; ρ_1 — насыщенность водой в системе трещин; $f_1(\rho_1)$ и $f_2(\rho_1)$ — относительные проницаемости воды и нефти в системе трещин; $t - \vartheta(x)$ — время нахождения каждого элемента среды в обводненной зоне ($t \geq \vartheta$); x — линейный размер; $V = \varphi[t - \vartheta(x)]$ — объем воды, запытывающейся в пористые блоки из трещин за счет капиллярных сил за единицу времени на единицу породы. Функция φ связана с насыщенностью ρ_2 блоков водой (ρ_2 — пористость блоков)

$$m_2 \partial \rho_2 / \partial t = \varphi(t)$$

Функция $\rho_2(t)$ определяется экспериментально. Из графика, приведенного в работе [2], следует, что данная кривая при $t \rightarrow 0$ близка к параболе и имеет асимптоту $\rho_2(t) = \rho_n = \text{const}$. Если $\rho_2(t)$ приближенно описать уравнением параболы

$$\rho_2(t) = a\bar{t} \quad (1.3)$$

где a — постоянная, зависящая от ряда параметров, то это позволяет свести (1.2) к уравнению Абеля [2] и получить закон движения фронта нагнетаемой воды. Сле-

дующая из (1.3) конечность времени пропитки до полного насыщения приводит к обра-
зованию заднего фронта, где насыщенность водой стала максимальной. С целью
учета взаимодействия фронтов движение разбивается на n стадий, на каждой из ко-
торых надо решить уравнение Абеля. Чем больше n , тем точнее это решение.

В частном случае $q = \text{const}$, из физических сообра-
жений следует, что при $t \rightarrow \infty$ передний фронт должен
двигаться с постоянной скоростью.

Однако, парабола (1.3) близка к опытной кривой
 $\rho_2 = \rho_2(t)$ лишь для t , близких к нулю. В отличие от
закона (1.3), используемого в [1, 2], рассмотрим следую-
щий закон для $\rho_2(t)$:

$$\begin{aligned} \rho_2(t) &= \rho_n \Phi(a\sqrt{t}), \quad a > 0 \\ \Phi(a\sqrt{t}) &= \frac{2}{\sqrt{\pi}} \int_0^{a\sqrt{t}} e^{-u^2} du \end{aligned} \quad (1.4)$$

Здесь $\Phi(a\sqrt{t})$ — интеграл вероятности ошибок. Функция (1.4), график которой
для $a = 1$, $\rho_n = 1$ дан на фиг. 1 [5], хорошо аппроксимирует экспериментальную
кривую на всем интервале изменения t . Пренебрегая членами порядка выше $t^{0.5}$, при
 $t \rightarrow 0$ получим

$$\Phi(a\sqrt{t}) \approx 2a\sqrt{t} / \sqrt{\pi}$$

т. е. (1.4) дает уравнение параболы $\rho_2(t) = \rho_n$ при $t \rightarrow \infty$, что и требуется.
Перейдем далее к безразмерным величинам [1]

$$T = t \frac{\sigma \cos \theta \sqrt{k_2/m_2} s^2}{\mu_2}, \quad \xi = \frac{x}{i}, \quad q^* = \frac{2q\mu_2}{hblAm_2\rho_n\sigma \cos \theta \sqrt{k_2/m_2}s^2} \quad (1.5)$$

Здесь σ — поверхностное натяжение на границе раздела воды и нефти, θ — угол
избирательного смачивания, k_2 — проницаемость системы блоков, s — осредненная
удельная поверхность пористых блоков, l — осредненный размер блока, A — коэффи-
циент пропорциональности, определяемый из опыта.

Введем новую функцию

$$u(\tau) = d\xi / d\tau \quad (1.6)$$

Тогда после преобразований, аналогичных проделанным в [1], уравнение (1.2)
с учетом (1.4), (1.5) примет вид

$$\int_0^T \frac{\exp[-a^2(T-\tau)]}{\sqrt{\pi}(T-\tau)} u(\tau) d\tau = \frac{q^*(T)}{a} \quad (1.7)$$

Уравнение (1.7) с начальным условием

$$\xi(0) = 0 \quad (1.8)$$

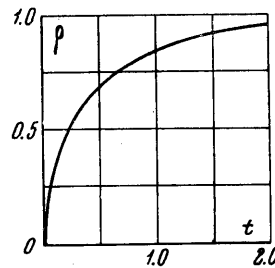
и формула (1.6) позволяют определить закон движения фронта нагнетаемой воды
независимо от уравнения (1.1). Последнее служит для определения насыщенности
и давления в трещинах.

Выражение (1.7) — уравнение Вольтерра первого рода с сингулярным ядром. Для
его решения применим операционный метод. Пусть

$$\begin{aligned} L(s) &= \int_0^\infty \frac{\exp[-(a^2+s)T]}{\sqrt{\pi T}} dT = \frac{1}{\sqrt{s+a^2}}, \quad F(s) = \frac{1}{a} \int_0^\infty e^{-sT} q^*(T) dT, \\ M(s) &= \frac{F(s)}{L(s)} \end{aligned}$$

Тогда [6]

$$u(T) = \frac{1}{2\pi i} \int_{c-i\infty}^{c+i\infty} e^{sT} M(s) ds \quad (1.9)$$



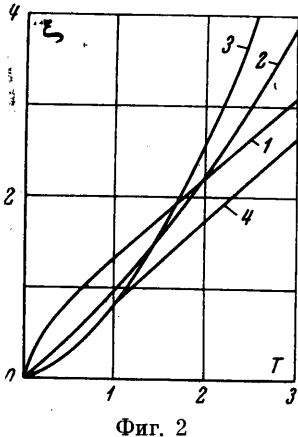
Фиг. 1

Теперь, зная $u(T)$, найдем закон движения переднего фронта одной квадратурой

$$\xi(T) = \int_0^T u(\tau) d\tau + C, \quad \text{или} \quad \xi(T) = \int_0^T u(\tau) d\tau \quad (1.10)$$

2. Рассмотрим наиболее интересные частные случаи закона $q^*(T)$.

a) $q^*(T) = q_0^*$



Фиг. 2

Тогда

$$M(s) = q_0^* \sqrt{s + a^2 / as}$$

По формуле (1.9)

$$u(T) = q_0^* \left[\Phi(a \sqrt{T}) + \frac{\exp(-a^2 T)}{a \sqrt{\pi T}} \right] \quad (2.1)$$

Дифференцированием по частям получим

$$\int_0^T \Phi(a \sqrt{T}) dT = \Phi(a \sqrt{T}) \left(T - \frac{1}{2a^2} \right) + \frac{\exp(-a^2 T) \sqrt{T}}{a \sqrt{\pi}} \quad (2.2)$$

Из (1.10), (2.1), (2.2) следует, что

$$\xi(T) = q_0^* \left[\Phi(a \sqrt{T}) \left(T + \frac{1}{2a^2} \right) + \frac{\exp(-a^2 T) \sqrt{T}}{a \sqrt{\pi}} \right]$$

$$\xi(T) \approx q_0^* (T + 1/2a^2) \quad \text{при } T \rightarrow \infty \quad (2.4)$$

т. е. кривая с уравнением (2.3) имеет асимптоту. График функции (2.3) дан на фиг. 2 (см. кривую 1). Здесь и ниже для фиг. 2 имеем $a = 1$, $q_0^* = 1/2\pi$

b) $q^*(T) = q_0^* \sqrt{T}$

Так как

$$F(s) = q_0^* \sqrt{\pi} / 2as\sqrt{s}$$

то по формуле (13.59) справочника [7]

$$u(T) = 1/2q_0^* a^{-1} \sqrt{\pi} \exp(-1/2a^2 T) [(1 + a^2 T) I_0(1/2a^2 T) + a^2 T I_1(1/2a^2 T)] \quad (2.5)$$

где $I_0(z)$ и $I_1(z)$ — функции Бесселя чисто мнимого аргумента нулевого и первого порядков. Пользуясь равенствами [8]

$$I_0'(z) = I_1(z), \quad I_1'(z) = I_0(z) - z^{-1} I_1(z)$$

нетрудно найти

$$\int_0^z z e^{-z} [I_0(z) + I_1(z)] dz = \frac{ze^{-z}}{3} \{2z[I_0(z) + I_1(z)] - I_1(z)\}$$

Из (1.10) следует

$$\xi(T) = 1/6q_0^* \sqrt{\pi} a T \exp(-1/2a^2 T) [I_0(1/2a^2 T) (3 + 2a^2 T) + I_1(1/2a^2 T) (1 + 2a^2 T)] \quad (2.6)$$

На фиг. 2 кривая 2 построена по формуле (2.6).

c) $q^*(T) = q_0^* T$

Имея в виду известные соотношения между оригиналами и изображениями [7], из (2.3) получим

$$u(T) = q_0^* \left[\Phi(a \sqrt{T}) \left(T + \frac{1}{2a^2} \right) + \frac{\exp(-a^2 T) \sqrt{T}}{a \sqrt{\pi}} \right] \quad (2.7)$$

Выражение

$$\int_0^T T \Phi(a \sqrt{T}) dT = \frac{1}{2} \left[\Phi(a \sqrt{T}) \left(T^2 - \frac{3}{4a^4} \right) + \frac{\exp(-a^2 T) \sqrt{T}}{a \sqrt{\pi}} \left(T + \frac{3}{2a^2} \right) \right] \quad (2.8)$$

Из (1.10), (2.7), 2.8)

$$\xi(T) = \frac{q_0^*}{2} \left[\Phi(a\sqrt{T}) \left(T^2 + \frac{1}{a^2} T - \frac{1}{4a^4} \right) + \frac{\exp(-a^2 T) \sqrt{T}}{a\sqrt{\pi}} \left(T + \frac{1}{2a^2} \right) \right] \quad (2.9)$$

Кривая 3 на фиг. 2 построена по формуле (2.9). При необходимости можно рассмотреть и случай

$$q^*(T) = q_0^* T^2.$$

Для этого понадобится проинтегрировать формулу (2.9), что нетрудно сделать.

$$d) \quad q^*(T) = \begin{cases} q_0^* T & \text{при } 0 < T \leq T_0 \\ q_0^* T_0 & \text{при } T > T_0 \end{cases}$$

В этом случае

$$u(T) = G(T) - G(T - T_0) \quad (2.10)$$

где $G(T)$ — правая часть формулы (2.7), причем $G(T - T_0) = 0$ при $T \leq T_0$. Из (2.10)

$$\xi(T) = H(T) - H(T - T_0) \quad (2.11)$$

где $H(T)$ — правая часть формулы (2.9), причем $H(T - T_0) = 0$ при $T \leq T_0$

$$\xi(T) \approx q_0^* T_0 (T - \frac{1}{2}T_0 + \frac{1}{2}a^{-1}) \quad \text{для } T \rightarrow \infty$$

т. е. кривая с уравнением (2.11) имеет асимптоту (см. кривую 4 на фиг. 2; $T_0 = 1$).

$$e) \quad q^*(T) = q_0^* \exp(-b^2 T) \quad (b \leq a)$$

Решение уравнения (1.7) таково:

$$u(T) = \frac{q_0^*}{a} \left\{ \frac{\exp(-a^2 T)}{\sqrt{\pi T}} + \sqrt{a^2 - b^2} \exp(-b^2 T) \Phi(\sqrt{(a^2 - b^2)T}) \right\}$$

Отсюда

$$\xi(T) = \frac{q_0^*}{b^2} \left\{ \Phi(a\sqrt{T}) - \frac{\sqrt{a^2 - b^2}}{a} \exp(-b^2 T) \Phi(\sqrt{(a^2 - b^2)T}) \right\} \quad (2.12)$$

При $b \rightarrow 0$ (2.12) переходит в (2.3).

3. Для сравнения полученных в п. 2 результатов с выводами работы [2] перейдем к безразмерным координатам

$$\xi^* = \xi \pi / 2q_0^* \sqrt{T^*}, \quad \theta = T / T^* \quad (3.1)$$

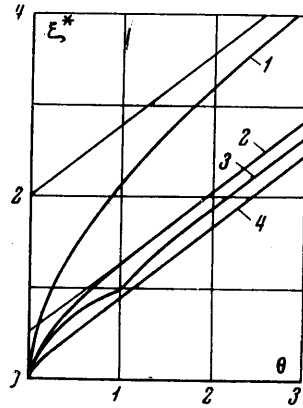
где T^* — момент времени, к которому для закона (1.3) при $\xi = 0$ образуется задний фронт с постоянным значением насыщенности [2]. Из (2.3), (2.4) и (3.1)

$$\xi^*(\theta) = \frac{\pi}{2} \left[\Phi(a\sqrt{T^*\theta}) \left(\theta \sqrt{T^*} + \frac{1}{2a^2\sqrt{T^*}} \right) + \frac{\exp(-a^2 T^*\theta) \sqrt{\theta}}{a\sqrt{\pi}} \right] \quad (3.2)$$

$$\xi^*(\theta) \approx \frac{1}{2}\pi(\theta\sqrt{T^*} + 1/2a^2\sqrt{T^*}) \quad \text{при } \theta \rightarrow \infty \quad (3.3)$$

Угол α наклона асимптоты с уравнением (3.3) к оси θ зависит от T^* , а отрезок, отсекаемый ею на оси ξ^* , — от T^* и a . Если выбрать $T^* = 1/4$, то α совпадает с углом наклона асимптоты, полученной в [2]. При $a = \sqrt{\pi}$, если пренебречь членами порядка выше $\theta^{0.5}$, при $\theta \rightarrow 0$ будут совпадать уравнения кривой $\xi^* = \xi^*(\theta)$ на первой стадии решения задачи работы [2] и кривой (3.2): $\xi^*(\theta) \approx \sqrt{\theta}$. На фиг. 3 кривые 1, 2, 4 построены по формуле (3.2) для $T^* = 1/4$, $a = 1/2\sqrt{\pi}$, $a = \sqrt{\pi}$ и $a = 2\sqrt{\pi}$; кривая 3 взята из [2].

При $q^* = \text{const}$ для закона (1.4) задний фронт и стабилизированная зона не образуются, поскольку пропитка до полного насыщения идет неограниченно долго. Однако можно проследить за продвижением фронта данной насыщенности. Эта кривая получится сдвигом кривой $\xi = \xi(T)$ вправо на величину T_k , соответствующую моменту, к которому в точке $\xi = 0$ была достигнута заданная насыщенность ρ_k .



Фиг. 3

4. Радиальный случай задачи принципиально от линейного не отличается. Так, для $q^*(T) = q_0^*$ закон движения фронта нагнетаемой воды имеет вид

$$r(T) = \left\{ \frac{q_0^*}{\pi} \left[\Phi(a\sqrt{T}) \left(T + \frac{1}{2a^2} \right) + \frac{\exp(-a^2 T)\sqrt{T}}{a\sqrt{\pi}} \right] \right\}^{1/2}$$

Отметим, что, имея графики решения уравнения (1.7), нетрудно при помощи (1.4) определить величину насыщенности в данной точке пласта в любой момент T . Автор благодарит В. Л. Данилова за научное руководство.

Поступило 20 III 1967

ЛИТЕРАТУРА

- Боксерман А. А., Желтов Ю. П., Кочешков А. А. О движении несмешивающихся жидкостей в трещиновато-пористой среде. Докл. АН СССР, 1964, т. 155, № 6.
- Боксерман А. А., Данилов В. Л., Желтов Ю. П., Кочешков А. А. К теории фильтрации несмешивающихся жидкостей в трещиновато-пористых средах. Теория и практика добычи нефти (ежегодник ВНИИ нефтегаз), Изд. «Недра», 1966.
- Баренблatt Г. И., Желтов Ю. П. Об основных уравнениях фильтрации однопородных жидкостей в трещиноватых породах. Докл. АН СССР, 1960, т. 132, № 3.
- Рыжик В. М. Вытеснение нефти водой в пористой среде с малопроницаемыми включениями. Изв. АН СССР. Механика и машиностроение, 1964, № 1.
- Янке Е., Эмде Ф. Таблицы функций с формулами и кривыми. Гостехиздат, 1948.
- Мюнц Г. Интегральные уравнения, т. I. Гостехиздат, 1934.
- Диткин В. А., Прудников А. П. Справочник по операционному исчислению. «Вышэш. шк.» 1965.
- Градштейн И. С., Рыжик И. М. Таблицы интегралов, сумм, рядов и производствений. Физматгиз, 1962.

ОСЕСИММЕТРИЧНЫЙ УДАР ПО ПЛАСТИНЕ, ЛЕЖАЩЕЙ НА ПОВЕРХНОСТИ СЖИМАЕМОЙ ЖИДКОСТИ

В. С. КОРЧАГИН (Ростов-на-Дону)

§ 1. Постановка задачи и уравнения движения. Пусть идеальная сжимаемая жидкость, заполняющая нижнее полупространство, ограничена плоской упругой пластиной (фиг. 1) и до момента $t = 0$ находится в покое. Затем в момент $t = 0$ по пластине наносится удар, в результате которого точки пластины получают заданные начальные скорости. Требуется определить совместное движение пластины и жидкости, предполагая, что пластина не отрывается от жидкости.

В данной работе ограничимся определением закона движения пластины, а также важной, с практической точки зрения, динамической величины — давления, действующего на пластину со стороны жидкости.

Допущения, принимаемые при решении этой задачи, следующие:

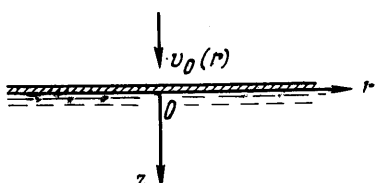
а) движение симметрично относительно оси, нормальной к поверхности жидкости в состоянии покоя;

б) перемещения и скорости частиц жидкости и пластины малы;
в) жидкость идеальная и баротропная;
г) массовые силы на жидкость не действуют.

При этих допущениях рассматриваемая задача представляет линейную задачу о потенциальном движении жидкости совместно с находящейся на ее поверхности упругой пластиной. Пусть φ — потенциал скорости жидкости, p — гидродинамическое давление, a , u , q — соответственно прогиб пластины по нормали к ее поверхности и нормальная распределенная нагрузка, действующая по обеим сторонам пластины.

Тогда движения жидкости и пластины будут подчиняться уравнениям [1, 2]

$$\Delta\varphi = \frac{1}{c^2} \frac{\partial^2 \varphi}{\partial t^2}, \quad \frac{\partial \varphi}{\partial t} + \frac{p}{\rho} = 0, \quad \Delta u + \frac{\sigma_0}{D} \frac{\partial^2 u}{\partial t^2} = \frac{q}{D} \quad (1.1)$$



Фиг. 1